

بررسی تأثیر وانادیم بر سینتیک تغییر حالت آستنیت در فولادهای میکروآلیاژی

حسین سینا^۱، حامد کریمی^۲ و جلیل صالحی^۳

۱- دانشجوی دکتری و عضو هیأت علمی دانشگاه آزاد مجلسی

۲- کارشناس متالورژی، دانشگاه آزاد مجلسی

۳- کارشناس ارشد، دانشگاه صنعتی اصفهان

hamed.26@gmail.com

چکیده

در این مقاله اثر وانادیم بر سینتیک تغییر حالت آستنیت در فولادهای میکروآلیاژی کربن متوسط ارزیابی شده است. نمونه هایی از دو نوع فولاد بدون وانادیم و میکروآلیاژی وانادیم دار تحت سیکل های مختلف آستنیت کردن قرار گرفت و سپس در آب کوئنچ گردید. با انجمام سختی سنجی و بررسی های ریز ساختاری، سینتیک تغییر حالت آستنیت توسط معادله اورامی مورد تعزیه و تحلیل قرار گرفت. نتایج بدست آمده از این پژوهش بیانگر تأخیر در دگرگونی آستنیتی در فولاد دارای وانادیم در دماهای آستنیت کردن پایین تر از ۹۵۰ درجه سانتی گراد است. بررسی ها نشان داد، با افزایش دمای آستنیت کردن تا محدوده حرارتی انحلال رسوبات وانادیم، به تدریج از مقاومت در برابر تغییر حالت آستنیت کاسته می گردد.

واژه های کلیدی:

فولاد میکروآلیاژی، سینتیک، استحاله آستنیتی، معادله اورامی.

حالت پرلیت شده و به کاهش فواصل بین لایه ای پرلیت منجر شود که به تبع آن استحکام بالاتری بدست می آید. مقالات متعددی به اثر وانادیم بر استحکام فولادهای میکروآلیاژی و مکانیزم های آن پرداخته اند [۱-۴]، اما کمتر به نقش این عنصر در سینتیک استحاله آستنیت و اثر آن بر استحکام فولاد پرداخته شده است. در این پژوهش اثر وانادیم بر سینتیک استحاله آستنیت ایزو ترم در دما و زمان های گوناگون آستنیت کردن توسط سختی سنجی، تطبیق آن با معادله اورامی و مقایسه با تصاویر ریز ساختاری ارزیابی شده است.

۱- مقدمه وانادیم یکی از عناصر کاربیدزای قوی می باشد که در فولادها باعث تشکیل کاربید می گردد. در صورت حضور نیتروژن (در فولادهای تجاری) کربونیتید وانادیم تشکیل می شود که در دمای ۱۱۵۰ درجه سانتی گراد این رسوبات کاملاً محلول می باشند. با کاهش دما، کربونیتید وانادیم در آستنیت، فریت پروپوتکتوئید و فریت- پرلیت رسوب می نماید و منجر به افزایش استحکام رسوبی می گردد [۵-۷]. گلادمن^۱، اظهار کرده است که افزودن وانادیم می تواند سبب کاهش دمای تغییر

جدول (۱): ترکیب شیمیایی اسمی فولادهای مورد استفاده.

ترکیب شیمیایی	C	Si	Mn	S	P	Cr	V	N (ppm)
فولاد A	۰/۳۵	۰/۵۵	۱/۳۹	۰/۰۳۴	۰/۰۱۱	۰/۰۳	—	>۱۰۰
فولاد B	۰/۳۵	۰/۵۵	۱/۳۸	۰/۰۶	۰/۰۱	۰/۰۱	۰/۱۳	>۱۰۰

سختی سنجی میان افزایش سختی با گذشت زمان و افزایش دمای آستینیت کردن می‌باشد. به عبارت دیگر در این جدول تشکیل سریعتر آستینیت که به صورت افزایش سختی در داده‌ها ظاهر گردیده، برای فولاد A مشاهده می‌شود. همچنین این مقادیر تا حدودی تأثیر در افزایش سختی را برای فولاد B نسبت به فولاد A نشان می‌دهند.

۱-۳- محاسبه کسر حجمی آستینیت

جهت تعیین کسر حجمی آستینیت، مناسب‌ترین روش اندازه‌گیری کسر حجمی آستینیت به کمک داده‌های بدست آمده از آزمایش سختی سنجی تشخیص داده شد.

در این روش با داشتن سختی ساختار اولیه و سختی ساختار بعد از تکمیل تغییر حالت آستینیت (مارتنزیت کامل) می‌توان کسر حجمی آستینیت را نسبت به روش‌های دیگر اندازه‌گیری، با تقریب بهتری توسط معادله اورامی که در ذیل آورده شده است محاسبه نمود:

$$HV = 800x + 250(1-x) \quad (1)$$

که در این معادله HV ، سختی ویکرز فولاد در عملیات آستینیت و آبدی در لحظه t ، x درصد فاز بوجواد آمده در اثر استحاله و اعداد 800 و 250 به ترتیب سختی (بر حسب ویکرز) ساختار مارتنزیت کامل و ساختار اولیه فریت-پرلیت را نشان می‌دهد که اعداد فوق با تقریب نسبتاً خوبی برای هر دو فولاد A و B به یک مقدار اندازه‌گیری شد.

۲-۳- بررسی تأثیر دما و زمان بر سیستیک تغییر حالت آستینیت

منحنی تغییرات کسر حجمی آستینیت در شکل (۲) آورده شده است. نتایج حاصل از نمودارهای شکل (۲) تا حدودی تأثیر در تغییر حالت آستینیت را در نمونه فولاد B نشان می‌دهد با افزایش

۲- روش تحقیق

به منظور بررسی سیستیک تغییر حالت آستینیت و تأثیر عنصر آلیاژی وانادیم، از دو نوع فولاد بدون وانادیم (A) و با وانادیم (B) و با ترکیب شیمیایی اسمی جدول (۱) استفاده گردید.

عملیات آستینیت کردن در دو مرحله صورت گرفت، نخست نمونه‌ها در یک کوره موقلی با دمای 700 درجه سانتی گراد به مدت 10 دقیقه قرار گرفت، سپس در کوره حمام نمک به دمای نهایی رسانده شد و در انتهای در آب کوئیچ گردید. کسر حجمی آستینیت تشکیل شده با استفاده از نتایج سختی سنجی ویکرز (بار Kgf) (۱) به دست آمد و توسط معادله اورامی [۷]، مورد تجزیه و تحلیل قرار گرفت.

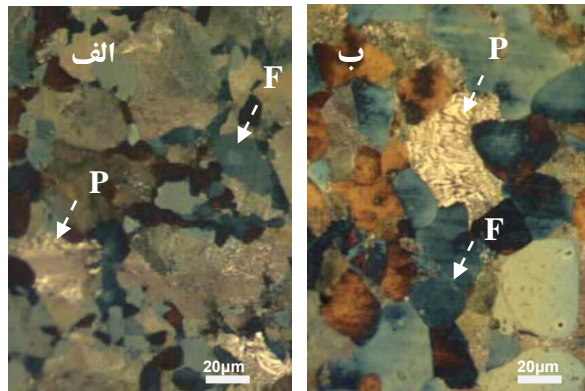
جهت مشاهده ریزساختار ابتدا نمونه‌ها سنباده‌زنی، پرداخت سطحی، پولیش و نهایتاً الکتروپولیش شدند و توسط محلول برآها^۱ حکاکی گردیدند [۸] و ساختارها از نظر مقدار تشکیل آستینیت مورد بررسی کمی و کیفی قرار گرفت.

انحلال کاریدها در حین پروسه عملیات حرارتی باعث تغییر سیستیک رشد دانه‌های آستینیت می‌گردد، برای بررسی این پدیده نیز نمونه‌هایی از دو نوع فولاد تهیه گردید و به مدت 30 دقیقه در کوره مورد عملیات آستینیت کردن در دمای 1150 درجه سانتی گراد قرار گرفت.

۳- نتایج و مباحث

شکل (۱) تصاویر ریزساختار اولیه دو نوع فولاد A، B را نشان می‌دهد که گویای ساختار فریتی (F)-پرلیتی (P) دو نوع فولاد است.

نتایج آزمایش سختی سنجی بر روی نمونه‌های عملیات حرارتی شده فولادهای A، B در جدول (۲) ارائه شده است. نتایج



شکل (۱): ریزساختار اولیه، (الف): فولاد A و (ب): فولاد B.

جدول (۲): نتایج بدست آمده از سختی سنجی نمونه‌های فولاد A و B از روش ویکرز.

(C) (S) زمان \ دما	۸۰۰ B	۸۵۰ B	۹۰۰ B	۹۵۰ B
۳	**	**	**	۵۵۹
۵	**	۴۵۱	**	۶۳۷
۱۰	۵۰۱	۵۶۸	**	۶۸۵
۱۵	**	**	۶۹۷	۷۰۱
۲۰	۶۰۲	۵۹۳	۶۲۲	۷۰۴
۲۵	**	**	۶۴۱	۷۶۲
۳۰	۶۰۷	۶۰۵	۶۴۸	**
۴۰	**	**	۶۶۸	**
۴۵	**	۶۱۹	۷۰۸	**
۵۰	۶۱۸	**	۶۶۸	**
۵۵	**	**	۷۳۸	**
۶۰	۶۹۱	۶۸۹	۷۳۶	**

(C) (S) زمان \ دما	۸۰۰ A	۸۵۰ A	۹۰۰ A	۹۵۰ A
۱/۵	**	**	**	۴۴۶
۵	**	۴۲۶	۳۵۵	۶۵۲
۸/۵	۴۸۷	**	**	**
۱۰	**	۵۶۵	**	۶۹۰
۱۵	**	**	۶۵۸	۶۹۵
۲۰	۵۹۸	۶۳۸	**	۷۰۸
۲۵	**	**	۶۸۹	۷۸۶
۳۰	۶۴۵	۶۴۳	**	**
۴۰	**	**	۷۰۶	**
۴۵	۷۰۸	**	**	**
۵۵	**	**	۷۳۸	**
۶۰	۶۹۵	۷۳۵	**	**

که در آن X ، کسر حجمی آستنیت تحول یافته، t زمان دگرگونی، k ثابت سرعت واکنش و n مؤلفه‌ای ثابت و بدون بعد است. چنانچه از معادله فوق به طور متوالی دو بار لگاریتم گرفته شود، معادله جدیدی به صورت زیر پدید می‌آید:

$$\log \log 1/(1-x) = n \log k + n \log t \quad (3)$$

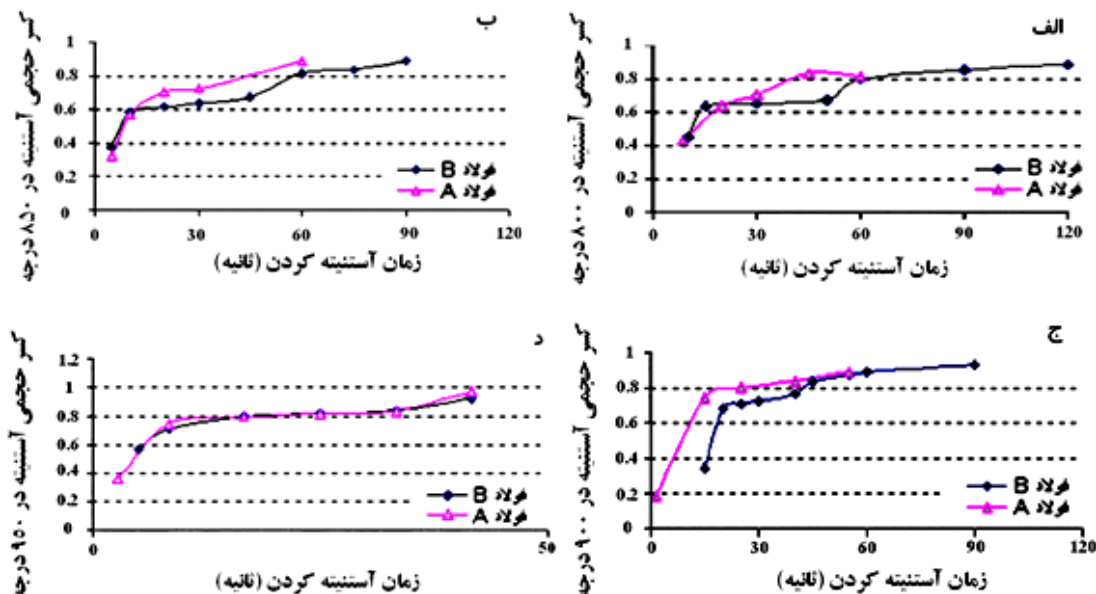
اگر معادله اورامی به صورت $\log \log 1/(1-x) = n \log k + n \log t$ بر حسب رسم شود، خط راستی بدست می‌آید که شیب این خط توان n را می‌دهد. با رسم نمودارهای یاد شده و استخراج n از آنها نمودار شکل (۳) بدست آمد. با توجه به شکل (۳) مقدار n کمتر

دمای آستنیت کردن مقایسه نمودار تغییرات فوق برای دو نوع فولاد A و B بهوضوح دیده می‌شود. نکته قابل توجه دیگر کاهش اختلاف موجود بین نمودار فولادهای A و B با گذشت زمان می‌باشد.

۳-۳-۳- ارزیابی سینتیک تشکیل آستنیت به کمک معادله اورامی

تابع کسر حجمی فاز تغییر حالت یافته بر حسب زمان دگرگونی به صورت زیر بیان می‌گردد: [۴]

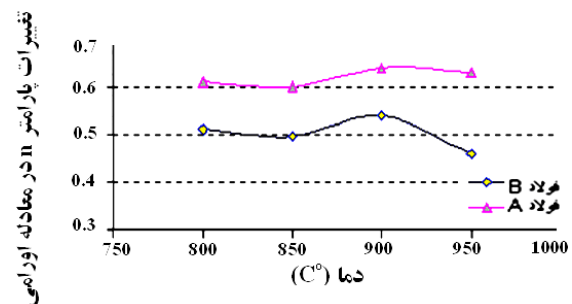
$$X = 1 - \exp [-(kt)^n] \quad (2)$$



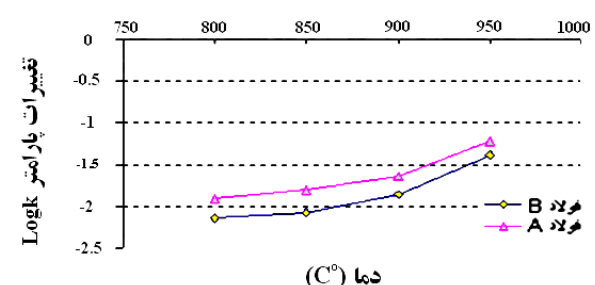
شکل (۲): منحنی تغییرات کسر حجمی آستینیت با زمان آستینیت کردن برای دو نوع فولاد A و B در دمای (الف): ۹۵۰، (ب): ۹۰۰، (ج): ۸۵۰ و (د): ۸۰۰ درجه سانتی گراد.

(۳) مشخص است مقادیر n به طور نامحسوسی برای فولاد وانادیومدار کمتر است که علت آن می‌تواند وجود رسوبات کاربید یا نیترید وانادیوم در فولاد نوع B که به صورت عمل قفل‌شوندگی مانع از حرکت مرزها می‌شوند، باشد.

بیشترین تأثیر دما بر معادله اورامی بر روی پارامتر k ظاهر می‌گردد که با افزایش دما بر مقدار آن افزوده می‌شود. شکل (۴) افزایش این پارامتر معادله اورامی را با دما نشان می‌دهد. با مقایسه تغییرات فوق برای دو فولاد A و B، مشاهده می‌شود که در تمامی دمایا، فولاد A مقادیر $\log k$ بالاتری را نشان می‌دهد. با افزایش دما اختلاف مقادیر $\log k$ برای دو فولاد کاهش می‌یابد که این موضوع می‌تواند به دلیل انحلال برخی از رسوبات وانادیومی در فولاد نوع B و کاهش اثرات آن در تولید مناطق مرجع جوانه‌زنی باشد. با این حال رشد کمتر اندازه دانه‌ها در فولاد وانادیومدار می‌تواند سبب بروز استحاله‌های نفوذی شود که در نتیجه از مقادیر سختی کاسته شده و به صورت خطأ در معادله اورامی این تغییر بصورت کاهش در مقادیر $\log k$ ظاهر شود.



شکل (۳): منحنی تغییرات پارامتر n با دما برای دو نوع فولاد A و B.



شکل (۴): منحنی تغییرات $\log k$ با دما برای دو نوع فولاد A و B.

از ۱ و بیشتر از صفر می‌باشد، n پارامتری غیروابسته به دما است و نوع دگرگونی و مواضع جوانه‌زنی که تعیین کننده سینتیک تغییر حالت است، بر آن اثر دارد. همانگونه که در نمودارهای شکل

افزایش دما و زمان آستنیته کردن تا ۱۱۵۰ درجه سانتی گراد و زمان ۳۰ دقیقه سبب رشد بیشتر دانه های آستنیت شد. نمودار تغییرات اندازه دانه با دما و زمان های مختلف در شکل (۸) آورده شده است. همانطور که مشاهده می شود با افزایش دما و زمان آستنیته کردن عدد اندازه دانه کاهش یافته است، این کاهش در فولاد نوع A مشهودتر است و این در حالی است که دانه های آستنیت در فولاد نوع B در دمای ۱۱۵۰ درجه سانتی گراد و زمان ۳۰ دقیقه دارای یک رشد نابهنجام است که این امر حاکی از حذف اثر رسوبات وانادیوم بر رشد دانه های آستنیت در اثر انحلال آن است.

تأثیر پارامتر دما به عنوان یک عامل محرك فرآیند نفوذ کربن می باشد. با افزایش دمای آستنیته کردن، به دلیل بیشتر شدن انرژی رانش ترمودینامیکی و تسريع فرآیند نفوذ کربن، سرعت تغییر حالت افزایش یافته و دگرگونی در مدت زمان کوتاه تر صورت می پذیرد [۹ و ۱۰]. این همان نتیجه های است که از نمودارهای شکل (۲) نیز استنتاج گردیده است.

عوامل مؤثر بر پارامتر n نوع تغییر حالت صورت گرفته و نوع مواضع مرجحی می باشند که جهت جوانهزنی اولیه فراهم می آیند. بدین ترتیب پیش بینی می شود در شرایطی که هیچ گونه تغییری در مواضع جوانهزنی و نوع تغییر حالت ایجاد نگردد، این پارامتر در طول زمان ها و دمای های مختلف ثابت باقی بماند. در فولادهای میکروآلیاژ که سینتیک تغییر حالت به آستنیت تحت تأثیر کاربیدهای عناصر میکروآلیاژ قرار دارد، ترکیب شیمیایی رسوبات میکروآلیاژ پارامتری وابسته به دما است [۶ و ۱۰]، لذا n نیز در این حالت وابسته به دما در نظر گرفته می شود.

نتایج بدست آمده از تغییرات n برای فولاد A عدم تغییر محسوس را برای دمای های مختلف گزارش می کند، بنابراین به نظر می رسد در این فولاد کنترل سینتیک تغییر حالت تنها توسط مواضع مرجع مرز دانه ها صورت پذیرد. اما به دلیل وجود مواضع دیگری غیراز مرز دانه ها در فولاد B، یعنی کاربیدها و کربونیتریدهای وانادیم و وابستگی آنها به دما، تغییرات پیچیده ای

۴-۲- ارزیابی سینتیک تشکیل آستنیت از طریق تصاویر متالوگرافی

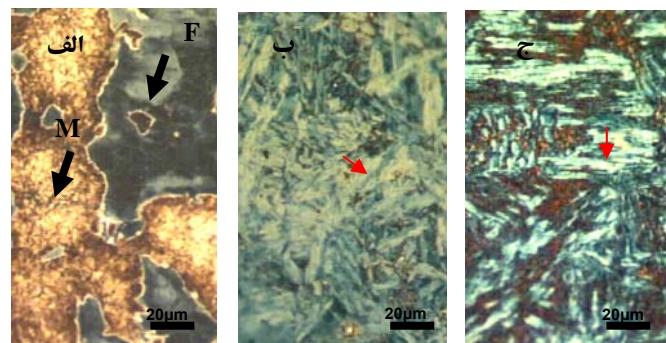
شکل (۵) ریز ساختار فولاد نوع A را در دمای ۸۵۰ درجه سانتی گراد نشان می دهد. در زمان ۱۰ ثانیه ساختار حاوی فریت و مارتزیت است که در شکل (۵-الف) نشان داده شده است. با افزایش زمان آستنیته کردن تا ۳۰ ثانیه استحاله تشکیل آستنیت کامل شده و ساختار مارتزیتی ایجاد گردیده است، با افزایش بیشتر زمان، رشد دانه های آستنیت روی داده که در نتیجه آن مارتزیت با تیغه های ضخیم تر تشکیل یافته است.

شکل (۶) ریز ساختار فولاد نوع B در دمای آستنیته کردن ۸۵۰ درجه سانتی گراد و زمان های ۱۰، ۳۰ و ۶۰ ثانیه را نشان می دهد. مقایسه این شکل ها با ریز ساختارهای فولاد نوع A حاکی است که ضخامت تیغه های مارتزیت در فولاد نوع A بیشتر از نوع B است با این روند تشکیل آستنیت در هر دو نوع تقریباً یکسان است، لذا برای هر دو نوع فولاد در زمان های پایین آستنیته کردن، ساختار شامل فریت و مارتزیت است و با افزایش زمان تا ۳۰ ثانیه استحاله تشکیل آستنیت کامل شده و ساختار مارتزیتی است.

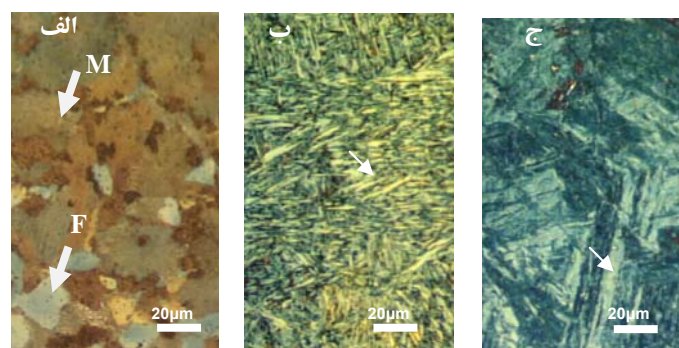
زمان نیز یکی از عوامل مؤثر بر سینتیک تشکیل آستنیت می باشد تأثیر این پارامتر می باشد در تصاویر ریز ساختار نیز ظاهر گردد. در شکل (۶) مقایسه ای بین میزان تشکیل آستنیت در فولاد A پس از مدت زمان ۱۰ ثانیه آستنیته کردن در دمای ۸۵۰ درجه سانتی گراد صورت گرفته است. مقایسه ظاهری دو ریز ساختار، می بین وجود کسر حجمی بیشتری از فریت در شکل (۶-الف) است.

۴-۳- ارزیابی اثر رسوبات وانادیم بر رشد مرز دانه های آستنیت

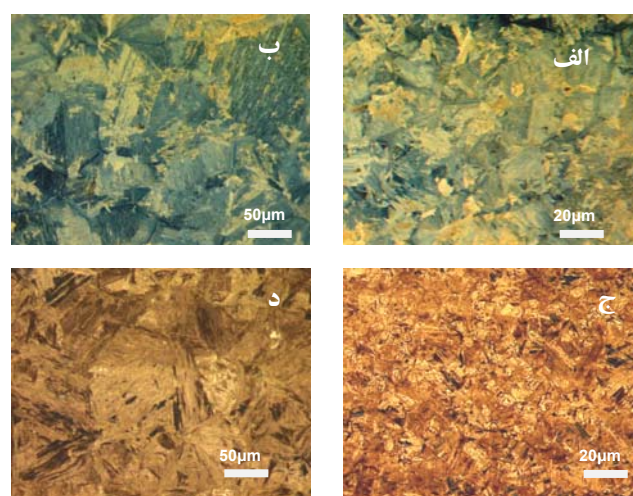
شکل (۷) دانه های آستنیت را برای دو نوع فولاد A و B که در دمای ۹۰۰ درجه سانتی گراد و زمان ۶۰ ثانیه قرار گرفته را نشان می دهد. عدد اندازه آستنیت برای فولاد A حدود ۴/۵ و برای فولاد نوع B حدود ۷ می باشد. مطالب ارائه شده از متالوگرافی حاکی از اثر رسوبات وانادیومی در رشد دانه های آستنیت دارد.



شکل (۵): مراحل تشکیل مارتزیت در فولاد A در دمای ۸۵۰ درجه سانتی گراد پس از، (الف): ۱۰، (ب): ۳۰ و (ج): ۶۰ ثانیه آستینیته کردن.



شکل (۶): مراحل تشکیل مارتزیت در فولاد B در دمای ۸۵۰ درجه سانتی گراد پس از، (الف): ۱۰، (ب): ۳۰ و (ج): ۶۰ ثانیه آستینیته کردن.

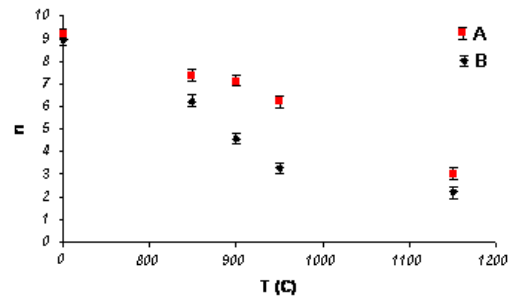


شکل (۷): ریزساختار میکروسکوپ نوری (الف و ب): فولاد نوع A، (ج و د): فولاد نوع B.

پیش‌برنده تغییر حالت، بطور قابل ملاحظه‌ای بر مکانیزم به تأخیر اندازنه آن برتری می‌یابد که حالت بهینه این رخداد در محدوده حرارتی ۹۰۰-۸۵۰ درجه سانتی‌گراد تخمین زده می‌شود. با توجه به اینکه انحلال رسوبات بر پایه (C,N)V محدوده حرارتی ۱۰۰۰-۹۵۰ درجه سانتی‌گراد گزارش شده است [۱۲]، با افزایش دما تا ۹۵۰ درجه سانتی‌گراد، انحلال رسوبات و تغییر در ترکیب استوکیومتری، باعث از بین رفتن مواضع مناسب جوانه‌زنی آستینیت گردیده، بدون اینکه انحلال کامل رسوبات رخ دهد که این امر منجر به کاهش مجدد در مقادیر بدست آمده برای n شده است. با توجه به دمای بحرانی انحلال کاربیدها در محدوده دمایی ۱۰۰۰-۹۵۰ درجه سانتی‌گراد به نظر می‌رسد که کنترل سینتیک تغییر حالت آستینیت در یک فولاد با رسوبات با ترکیب استوکیومتری V(C,N)VC انجام دهد و سهم ترکیب VN غنی از نیتروژن که دمای بحرانی انحلال بالاتری برای آن گزارش شده [۱۳]، کمتر از دو ترکیب دیگر باشد که این امر با توجه به مقدار کم نیتروژن در ترکیب شیمیایی فولاد B از قبل پیش‌بینی می‌شد.

نتایج حاصل از بررسی و مقایسه دیاگرام تغییرات $\log k$ به عنوان پارامتر دوم معادله سینتیکی اورامی (شکل ۴) نشان می‌دهد که $\log k$ نیز پارامتری وابسته به دما است که با افزایش دما سیر صعودی را طی می‌کند. نکته قابل توجه در این نمودار مقادیر بالاتر $\log k$ برای فولاد B می‌باشد که این امر، به اثر کاربیدهای میکروآلیاژ نسبت داده شده است [۱ و ۲]. علاوه بر این دیده می‌شود که مقادیر $\log k$ در فولاد A و B با افزایش دما به هم نزدیک می‌شوند که آن را می‌توان به انحلال کاربیدهای وانادیم مربوط دانست.

نکته قابل توجه دیگر اینکه انحلال کاربیدها علاوه بر دما به زمان نیز وابسته است، به گونه‌ای که با افزایش زمان آستینیت کردن در تمام دماها، در نهایت باعث کاهش اختلاف داده‌های نرخ تشکیل آستینیت و در مواردی انتباق داده‌ها با زمان برای دو فولاد A و B گردیده است. البته نباید تأثیر دما را در این بین



شکل (۸): عدد اندازه دانه برای دو نوع فولاد A و B با تغییرات دما.

در مقادیر بدست آمده برای پارامتر n مشاهده می‌شود. از آنجایی که n مقادیر کمتر از یک را به خود اختصاص داده است اینگونه برداشت می‌شود که تغییر حالت برای هر دو فولاد A و B از آن دسته از تغییر حالت‌ها هستند که با گذشت زمان نرخ تشکیل آستینیت در آنها افت می‌کند، به عبارت دیگر سینتیک تغییر حالت در ابتدا زیاد و با گذشت زمان، کاهش می‌یابد.

کاهش در مقادیر n در فولاد B نسبت به فولاد A به تأثیر رسوبات وانادیم در به تأخیر انداختن تغییر حالت آستینیت نسبت داده می‌شود. از آنجایی که یکی از پارامترهای مؤثر بر سینتیک تغییر حالت آستینیت نوع رسوبات میکروآلیاژ و ترکیب استوکیومتری آن می‌باشد، با فعال شدن نفوذ بر طبق مکانیزم استوالد ریپینینگ^۳ [۱۱] ترکیب شیمیایی مناسب و ابعاد بهینه رسوبات با انرژی سطحی زیاد و ترشوندگی مناسب جهت ایجاد مواضع مرجع جوانه‌زنی، اولین جوانه‌های آستینیت در محدوده دمایی ۹۰۰-۸۵۰ درجه سانتی‌گراد فراهم می‌آید.

از آنجایی که در بررسی علل تغییر پارامتر n هر دو تأثیر رسوبات وانادیم یعنی تسریع در سینتیک تغییر حالت آستینیت با ایجاد مواضع مرجع جوانه‌زنی مناسب و تأخیر در سینتیک تغییر حالت به آستینیت با قفل کردن مرز دانه‌های آستینیت، باید بطور همزمان درنظر گرفته شود که هر دو مکانیزم فوق در مقابل هم، یکی در جهت پیشبرد تغییر حالت و دیگری در به تأخیر انداختن آن مؤثر است. بنابراین به نظر می‌رسد با افزایش دما به دلیل تغییر در ترکیب استوکیومتری رسوبات و فعال شدن فرآیند نفوذ که منجر به توزیع مناسب‌تری از رسوبات می‌گردد، مکانیزم

- [4] N. E. Hannerz and B. Jonsson Holmquist, Metals Science, 8, pp. 228-234, 1974.
- [5] D. T. Llewellyn, Vanadium in Steels, Iron Making and Steel Making, Vol. 23, No. 5, pp. 397, 1996.
- [6] C. W. Lee, S. H. Uhm, K. M. Kim, K. J. Lee and C. H. Lee, Modeling of Phase Transformation Kinetics in the Coarsened Grain HAZ of C-Mn Steel Weld Considering Prior Austenite Grain Size, ISIJ International, Vol. 41, No. 11, pp. 1383-1388, 2001.
- [7] M. Avrami, (1939). "Kinetics of Phase Change. I. General Theory", *Journal of Chemical Physics* (1939), Vol. 7, No. 12, pp. 1103-1112, 1939.
- [8] ASM Metals Handbook, Metallography and Microstructures, Vol. 9, 9th Edition, 2004.
- [۹] م. گلزار، "اصول و کاربرد عملیات حرارتی فولادها و چدن‌ها"، مرکز انتشارات دانشگاه صنعتی اصفهان، چاپ سوم، ۱۳۷۲.
- [10] P. A. Manohar, D. P. Dunne, T. Chandra and C. R. Killmore, Grain Growth Predictions in Microalloyed Steels, ISIJ International. Vol. 36, No. 2, pp. 194-200, 1996.
- [11] د. پورتر و ک. ای استرلینگ، دگرگونی فازها در فلزات و آبیزها، ترجمه دکتر ابوالقاسم دهقان و عباسعلی نظری‌بلند، انتشارات دانشگاه شیراز، چاپ دوم، سال ۱۳۸۲.
- [12] L. M. Panfilova and L. A. Snirnov, "The Effects of Vanadium Carbonitrides on Properties of Structural Medium Carbon Nitrogen, Containing Steels", Fundamentals of Microalloying Forging Steels, pp. 189-200, 1986.
- [13] S. Zajac, R. Lagneborg and T. Siwecki, "The Role of Nitrogen In Microalloyed Steels", Microalloying 95, pp. 327.

۶- پی‌نوشت

- 1- Gladman
2- Beraha
3- Ostwald Ripening

نادیده گرفت، چرا که دما نیز به عنوان مهمترین عامل در انحلال کاربیدها، باعث کاهش زمان انبساط گردیده است.

۴- نتیجه گیری

۱- با افزایش دما و زمان به دلیل افزایش فعالیت فرآیند نفوذ کربن، سینتیک تغییر حالت فریت-پریت به آستینیت تسریع می‌گردد.

۲- نرخ تشکیل آستینیت پارامتری وابسته به دما و زمان می‌باشد که با افزایش دما تشکیل آستینیت با نرخ بیشتر و در زمان‌های به مراتب کمتری آغاز می‌گردد اما با گذشت زمان نرخ تشکیل آستینیت کاهش می‌یابد و به یک مقدار ثابت می‌رسد تا در نهایت به تکمیل تغییر حالت بینجامد.

۳- حضور رسوبات وانادیم به دلیل ایجاد مواضع جوانه‌زنی به ریزدانگی آستینیت می‌انجامد، در حالی که در فولاد A به دلیل وجود مواضع از نوع مرز دانه‌ای، جوانه‌زنی تنها در مرزهای پرانرژی صورت گرفته، دانه‌های آستینیت درشت‌تری را موجب می‌گردد اما با انحلال رسوبات وانادیم، اندازه دانه‌های آستینیت در هر دو فولاد به یکدیگر نزدیک می‌شود.

۵- مراجع

- [1] R. Lagneborg, T. Siwecki, S. Zajac and B. Hutchinson, "The Role of Vanadium in Microalloyed Steels", Scandinavian Journal of Metallurgy, Vol. 28, Issue 5, October 1999.
- [2] R. J. Glodowski, Experience in Producing Vanadium-Microalloyed Steels, The International Symposium on Thin-Slab Casting and Rolling, Guangzhou, China, December 3-5, 2002.
- [3] Y. Li, D. N. Crowther, M. J. W. Green, P. S. Mitchell and T. N. Baker, The Effect of Vanadium and Niobium on the Properties and Microstructure of the Intercritically Reheated Coarse Grained Heat Affected Zone in Low Carbon Microalloyed Steels, ISIJ International, Vol. 41, No. 1, pp. 46-55, 2001.

